

## PLANCHE XXI

*M. (Monolistra) caeca julia* (suite)

- |   |   |
|---|---|
| FIG. 40. Sommet de la lame interne des maxilles I ♂, × 200.   | FIG. 44. Péréiopode I ♂, × 40.  |
| FIG. 41. Maxillipède gauche ♂, face ventrale, × 100.  | FIG. 45. Péréiopode II ♂, × 40.   |
| FIG. 42. Région antérieure d'un ♂, vue par la face ventrale, × 15.  | FIG. 46. Pince du péréiopode II ♂, vue par la face postérieure, × 89.       |
| FIG. 43. Côté droit des trois premiers péréionites, vu par la face ventrale et un peu de l'intérieur; <i>n</i> , fossette formée par les crêtes articulaires céphalo-péréionales; <i>s</i> , surface articulaire du péréionite I; <i>d</i> , dent que forme le bord interne de la surface articulaire. ♂, × 20. | FIG. 47. Pince du péréiopode II ♂, vue par la face antérieure, × 89.        |
|   | FIG. 48. Péréiopode VII ♂, × 40.  |
|   | FIG. 49. Pénis, ♂, × 79.  |
|   | FIG. 50. Pléopode I gauche ♂, × 40.   |
|   | FIG. 51. Pléopode II gauche ♂, × 40.  |
|   | FIG. 52. Endopodite du pléopode II droit ♂, avec l'organe copulateur. × 40. |

## PLANCHE XXII

*M. (Monolistra caeca) julia* (suite).

- |   |  |
|---|--|
| FIG. 53. Pléopode III gauche ♂, × 40.   | FIG. 57. Coin antérieur droit du pléotelson vu par la face ventrale et plus de de l'intérieur, ♂; VII, péréionite VII; <i>x</i> , pléonite incomplet; <i>y</i> , pléonite complet, × 18. |
| FIG. 54. Pléopode IV gauche ♂, × 40.  |  |
| FIG. 55. Pléopode V gauche ♂, × 40.   |  |
| FIG. 56. Portion de la région postérieure d'un ♂, vue par la face ventrale, × 16. |  |

*M. (Monolistra) Absoloni* n. sp. ♀.

- |   |  |
|---|--|
| FIG. 58. Jeune femelle, face dorsale, × 23.                                       | FIG. 60. Moitié droite de la région antérieure vue par la face ventrale. × 32. |
| FIG. 59. Jeune femelle, de profil. Les granulations n'ont pas été figurées. × 23. | FIG. 61. Péréiopode I, × 79.   |

## PLANCHE XXIII

*Monolistra absoloni* (suite).

- |   |   |
|---|---|
| FIG. 62. Péréiopode VII, × 79.  | FIG. 64. Région antérieure du pléotelson, vue de profil; <i>x</i> , pléonite incomplet; <i>y</i> , pléonite complet; <i>s</i> , surface articulaire délimitée en arrière par une crête, + 32. |
| FIG. 63. Partie droite de la région postérieure du corps, vue par la face ventrale, × 32. |   |

*M. (Typhlosphaeroma) berica* (Fabiani).

- |   |   |
|---|---|
| FIG. 65. Mâle adulte, face dorsale, × 11. | FIG. 70. Antenne I ♂, × 24.                         |
| FIG. 66. Mâle adulte de profil, × 11.     | FIG. 71. Antenne II ♂, × 24.                        |
| FIG. 67. Tête vue d'en haut, ♂, × 20.     | FIG. 72. Maxillipède gauche ♂, face ventrale, × 44. |
| FIG. 68. Tête vue de face, ♂, × 20.       |   |
| FIG. 69. Tête vue de profil, ♂, × 20.     |   |

## PLANCHE XXIV

*M. (Typhlosphaeroma) berica* (suite).

- |   |   |
|---|---|
| FIG. 73. Maxillipède gauche d'une ♀ ovigère, face ventrale. × 44. | FIG. 74. Région antérieure d'un ♂, face ventrale, × 15. |
|---|---|

- FIG. 75. Côté droit des trois premiers péréionites, vu par la face ventrale et un peu de l'intérieur, ♂, × 20.
- FIG. 76. Péréiopode I ♀, × 40.
- FIG. 77. Péréiopode II ♀, × 40.
- FIG. 78. Péréiopode I ♂, × 40.
- FIG. 79. Péréiopode II ♂, × 40.
- FIG. 80. Pince du péréiopode II ♂, vue par la face antérieure, × 89.
- FIG. 81. Tige ciliée plus grossie du propode de la pince.
- FIG. 82. Tige pennée plus grossie du propode de la pince.
- FIG. 83. Péréiopode VII ♂, × 40.

## PLANCHE XXV

*M. (Typhlosphaeroma) berica* (suite).

- FIG. 84. Oostégite I droit, vu par la face ventrale; *v*, partie verticale qui s'applique sur la base des pièces buccales, avec trois *Lagenophrys* fixés à sa surface, × 32.
- FIG. 85. Pléopode I gauche ♀, × 36.
- FIG. 86. Pléopode II gauche ♀, × 36.
- FIG. 87. Pléopode III gauche ♀, × 36.
- FIG. 88. Pléopode IV gauche ♀, × 36.
- FIG. 89. Pléopode V gauche ♀, × 36.
- FIG. 90. Ecaille épineuse allongée de l'extrémité de l'exopodite du pléopode V ♀, × ∞.
- FIG. 91. Ecaille épineuse ramassée de l'extrémité de l'exopodite du pléopode V ♀, × ∞.
- FIG. 92. Partie de la région postérieure droite d'un ♂ vue par la face ventrale, × 15.
- FIG. 93. Coin antérieur droit du pléotelson ♀ vu de profil; *x*, pléonite incomplet; *y*, pléonite complet; *u*, rudiment de l'uropode. × 20.
- FIG. 94. Fragment de carapace avec le rudiment de l'uropode, vu par la face dorsale, ♀, × 450.

*Caecosphaeroma (Caecosphaeroma) Virei* Dollfus.

- FIG. 95. Femelle adulte, face dorsale, × 9.

## PLANCHE XXVI

*C. (Caecosphaeroma) Virei* (suite)

- FIG. 96. Mâle adulte, profil. La tête n'a pas été figurée. × 9.
- FIG. 97. Mâle adulte, roulé en boule, de face. × 9.
- FIG. 98. Mâle adulte, roulé en boule, de profil, × 9.
- FIG. 99. Tête vue d'en haut, ♂, × 20.
- FIG. 100. Tête vue de face; la mandibule gauche (*m*) est figurée en place. ♂, × 20.
- FIG. 101. Tête vue de profil; *m*, mandibule ♂, × 20.
- FIG. 102. Antennes I ♀, × 32.
- FIG. 103. Antennes II ♀, × 32.
- FIG. 104. Mandibule gauche complète, avec son palpe, ♂, × 36.
- FIG. 105. Mandibule gauche, ♂, × 100.
- FIG. 106. Palpe de la mandibule gauche ♂, × 89.
- FIG. 107. Mandibule droite, ♂, × 100.
- FIG. 108. Appareil stylifère de la mandibule droite ♂, × 225.

## PLANCHE XXVII

*C. (Caecosphaeroma) Virei* (suite).

- FIG. 109. Hypostome, face ventrale, ♀, × 79.
- FIG. 110. Maxille I gauche, face ventrale, ♂, × 79.
- FIG. 111. Dents du lobe externe des Maxilles I; *h* et *i*, dents internes; *e*, dent externe, ♂, × 294.
- FIG. 112. Tige ciliée interne de la lame interne des maxilles I, ♂, × 294.
- FIG. 113. Maxille II gauche, face ventrale, ♂; *r*, épines courbes des lobes externes; *s*, tiges courtes du lobe interne; *t*, la longue tige interne du lobe interne × 79.
- FIG. 114. Fragment d'une épine *r* de la figure 113, × ∞.
- FIG. 115. Une tige *s* de la figure 113, × 400.

- FIG. 116. La tige *t* de la figure 113,  $\times 294$ .  
 FIG. 117. Maxillipède droit  $\sigma$ , face ventrale,  $\times 44$ .  
 FIG. 118. Maxillipède droit  $\varphi$ , face ventrale. La région postérieure n'est pas figurée; *c*, crochet du lobe mastigatoire,  $\times 44$ .  
 FIG. 119. Crochet *c* de la figure 118,  $\times 330$ .  
 FIG. 120. Région antérieure d'une  $\varphi$ , vue par la face ventrale,  $\times 15$ .  
 FIG. 121. Côté droit des deux premiers péréonites, vu par la face ventrale et un peu de l'intérieur,  $\sigma$ ,  $\times 20$ .  
 FIG. 122. Péréiopode I  $\varphi$ ,  $\times 32$ .  
 FIG. 123. Région distale du péréiopode II  $\sigma$   $\times 60$ .

## PLANCHE XXVIII

*C. (Caecosphaeroma) Virei* (suite).

- FIG. 124. Péréiopode VII  $\varphi$ ,  $\times 32$ .  
 FIG. 125. Péréiopode VII d'un pullus,  $\times 79$ .  
 FIG. 126. Oostégite I droit, face ventrale,  $\times 15$ .  
 FIG. 127. Ostégite III droit, face ventrale,  $\times 15$ .  
 FIG. 128. Ostégite IV droit, face ventrale,  $\times 15$ .  
 FIG. 129. Pénis,  $\times 48$ .  
 FIG. 130. Pléopode I droit  $\varphi$ ,  $\times 32$ .  
 FIG. 131. Pléopode II droit  $\sigma$ ,  $\times 32$ .  
 FIG. 132. Pléopode III droit  $\sigma$ ,  $\times 32$ .  
 FIG. 133. Pléopode IV droit  $\varphi$ ,  $\times 32$ .  
 FIG. 134. Pléopode V droit  $\sigma$ ,  $\times 32$ .  
 FIG. 135. Fragment de la surface des tubercules à écailles dentelées de l'exopodite du pléopode V,  $\times 450$ .  
 FIG. 136. Exopodite du pléopode II  $\sigma$ , avec l'organe copulateur,  $\times 32$ .

## PLANCHE XXIX

*C. (Caecosphaeroma) Virei* (suite).

- FIG. 137. Pléotelson  $\sigma$ , vu par la face ventrale,  $\times 9$ .  
 FIG. 138. Coin antérieur droit du pléotelson vu de profil,  $\sigma$ ; *x*, amorce du pléonite incomplet; *y*, amorce du pléonite; complet *u*, uropode,  $\times 20$ .  
 FIG. 139. Uropode  $\sigma$ , vu par l'arête interne,  $\times 89$ .

*C. (Vireia) burgundum* Dollfus.

- FIG. 140. Mâle adulte, face dorsale,  $\times 8$ .  
 FIG. 141. Mâle adulte, de profil,  $\times 8$ .  
 FIG. 142. Mâle adulte roulé en boule, de profil,  $\times 8$ .  
 FIG. 143. Tête vue d'en haut,  $\sigma$ ,  $\times 15$ .  
 FIG. 144. Tête vue de face,  $\sigma$ ,  $\times 15$ .  
 FIG. 145. Tête vue de profil,  $\sigma$ ,  $\times 15$ .  
 FIG. 146. Antenne I  $\sigma$ ,  $\times 24$ .  
 FIG. 147. Antenne II  $\sigma$ ,  $\times 24$ .

## PLANCHE XXX

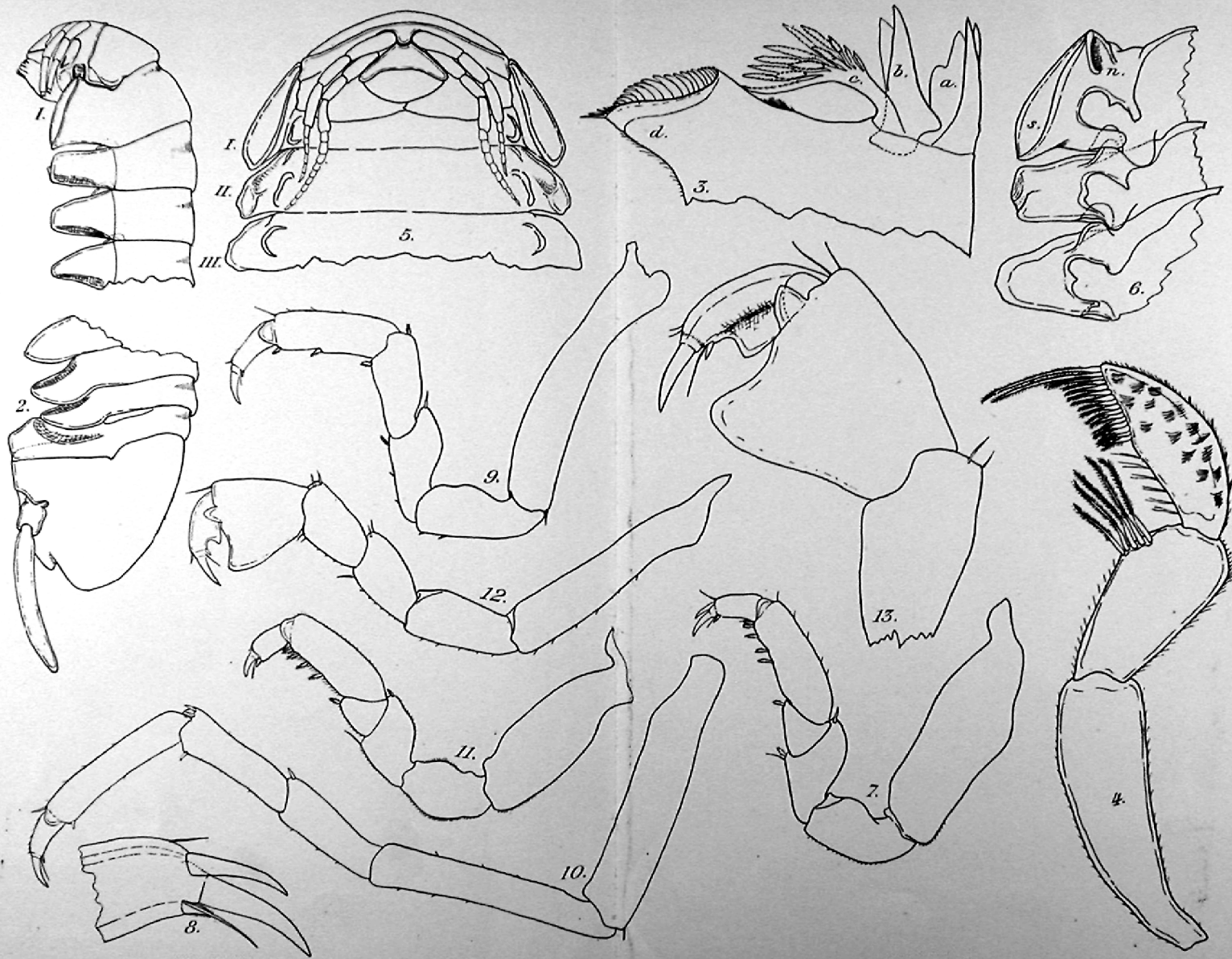
*C. (Vireia) burgundum* (suite).

- FIG. 148. Apophyse dentaire apicale de la mandibule gauche  $\sigma$ ,  $\times 89$ .  
 FIG. 149. Base de l'appareil stylifère de la mandibule droite  $\sigma$ ,  $\times 225$ .  
 FIG. 150. Deux lames de l'apophyse triturante des mandibules,  $\times \infty$ .  
 FIG. 151. Hypostome, face ventrale,  $\sigma$ ,  $\times 44$ .  
 FIG. 152. Extrémité de la lame interne des maxilles I  $\sigma$ ,  $\times 147$ .  
 FIG. 153. Maxillipède gauche  $\sigma$ , face ventrale,  $\times 44$ .  
 FIG. 154. Région antérieure d'un  $\sigma$ , vue par la face ventrale,  $\times 8$ .  
 FIG. 155. Côté droit des deux premiers péréonites, vu par la face ventrale et un peu de l'intérieur; *s*, surface articulaire du péréonite I; *n*, fossette formée par les crêtes articulaires céphalo-péréonales  $\times 15$ .  
 FIG. 156. Péréiopode I  $\varphi$ ,  $\times 32$ .  
 FIG. 157. Tige pennée du bord inférieur des propodos des péréiopodes I,  $\times 400$ .  
 FIG. 158. Péréiopode VII  $\varphi$ ,  $\times 32$ .  
 FIG. 159. Pénis,  $\times 48$ .  
 FIG. 160. Pléopode I gauche  $\varphi$ ,  $\times 32$ .

## INDEX ALPHABÉTIQUE DES MATIÈRES

5<sup>e</sup> SÉRIE, TOME IV

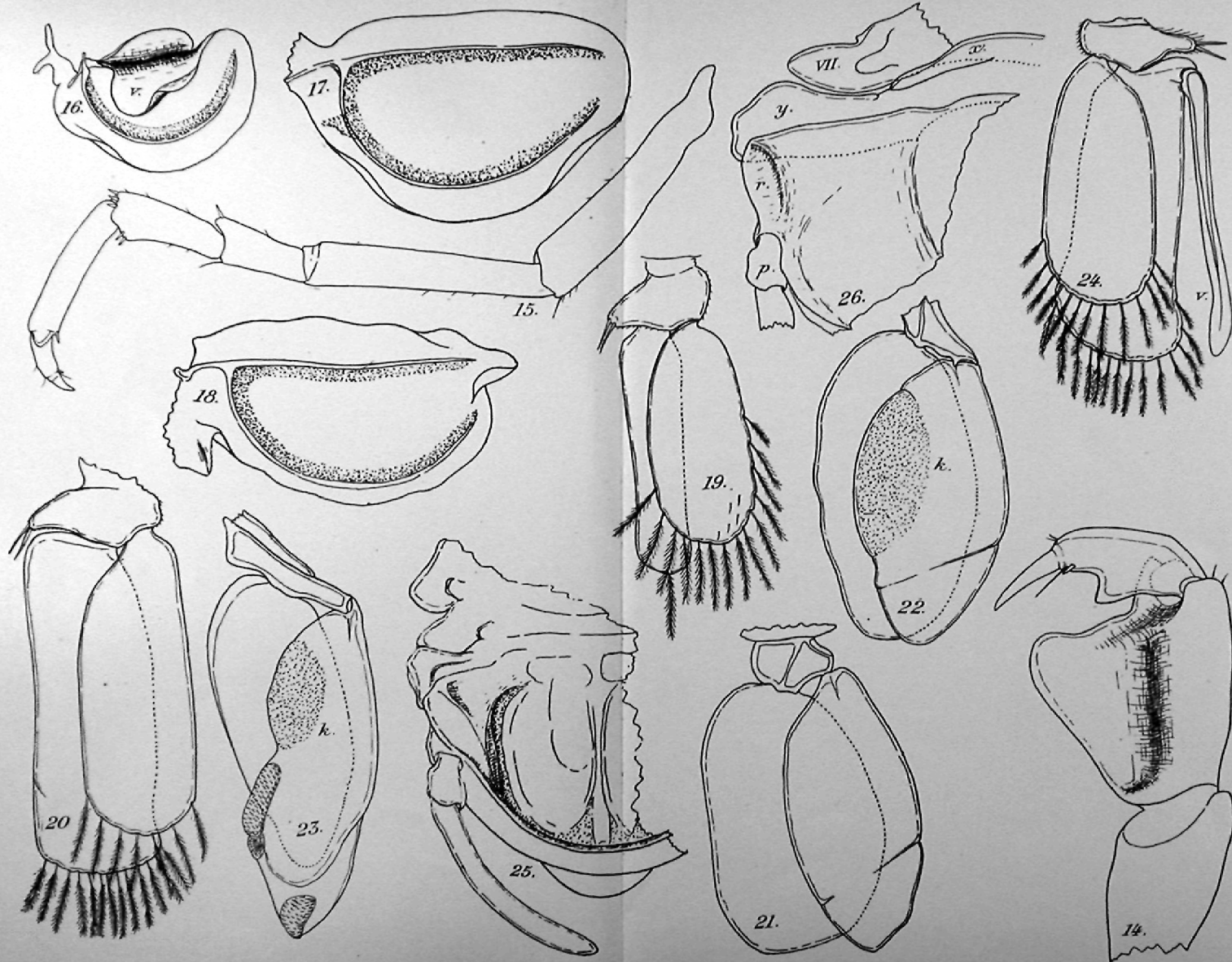
- Audigé (J.).** Contribution à l'étude des reins des Poissons téléostéens, p. 275.
- Biospéologica**
- XIII. — Sphéromiens (Première série) et révision des *Monolistrini* (Isopodes sphéromiens) (voir RACOVITZA), p. 625.
- Calliphora erythrocephala* Mg. (Recherches histologiques sur la métamorphose des Muscides : —) (voir PÉREZ), p. 1.
- Isopodes sphéromiens (Révision des *Monolistrini* —) (voir RACOVITZA), p. 625.
- Métamorphose des Muscides (voir PÉREZ), p. 1.
- Monolistrini* (Isopodes sphéromiens) (Révision des —) (voir RACOVITZA), p. 625.
- Muscides (Recherches histologiques sur la métamorphose des —) (voir PÉREZ), p. 1.
- Pérez (C.).** Recherches histologiques sur la métamorphose des Muscides : *Calliphora erythrocephala* Mg., p. 1.
- Poissons téléostéens (Contribution à l'étude des reins des —) (voir AUDIGÉ), p. 275.
- Racovitza (E.-G.).** Sphéromiens (Première série) et révision des *Monolistrini* (Isopodes sphéromiens). Biospeologica XIII, p. 625.
- Reins des Poissons téléostéens (voir AUDIGÉ), p. 275.
- Sphéromiens (Première série), Biospeologica XIII, et révision des *Monolistrini* (voir RACOVITZA), p. 625.
- Téléostéens (Contribution à l'étude des reins des Poissons —) (voir AUDIGÉ), p. 275.



Racovița del.

Eug. Morien, imp.

de Mezin, sc.

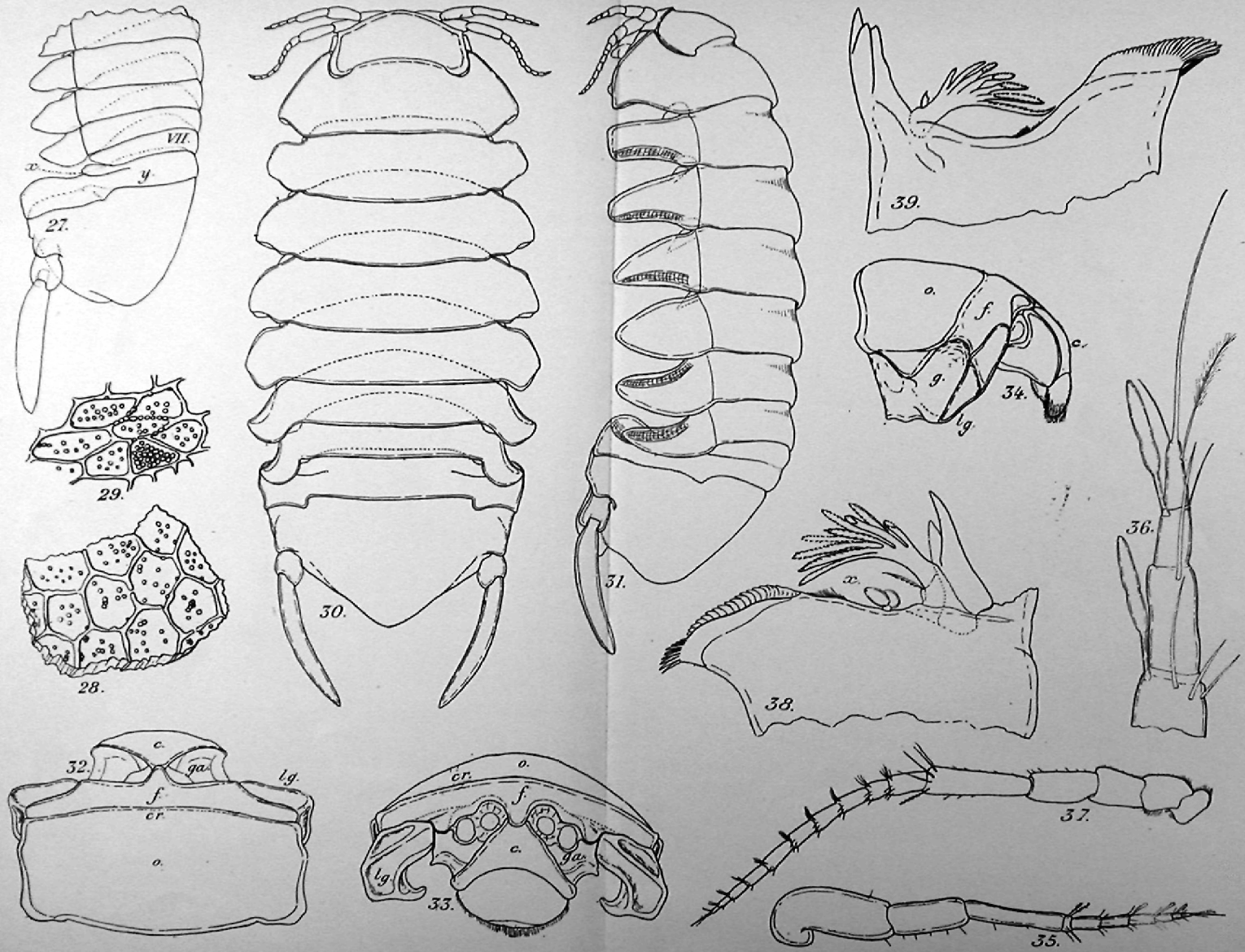


Racovitza del.

Eug. Mörice, imp.

de Meun, sc.

*Monolista (M.) caeca.*

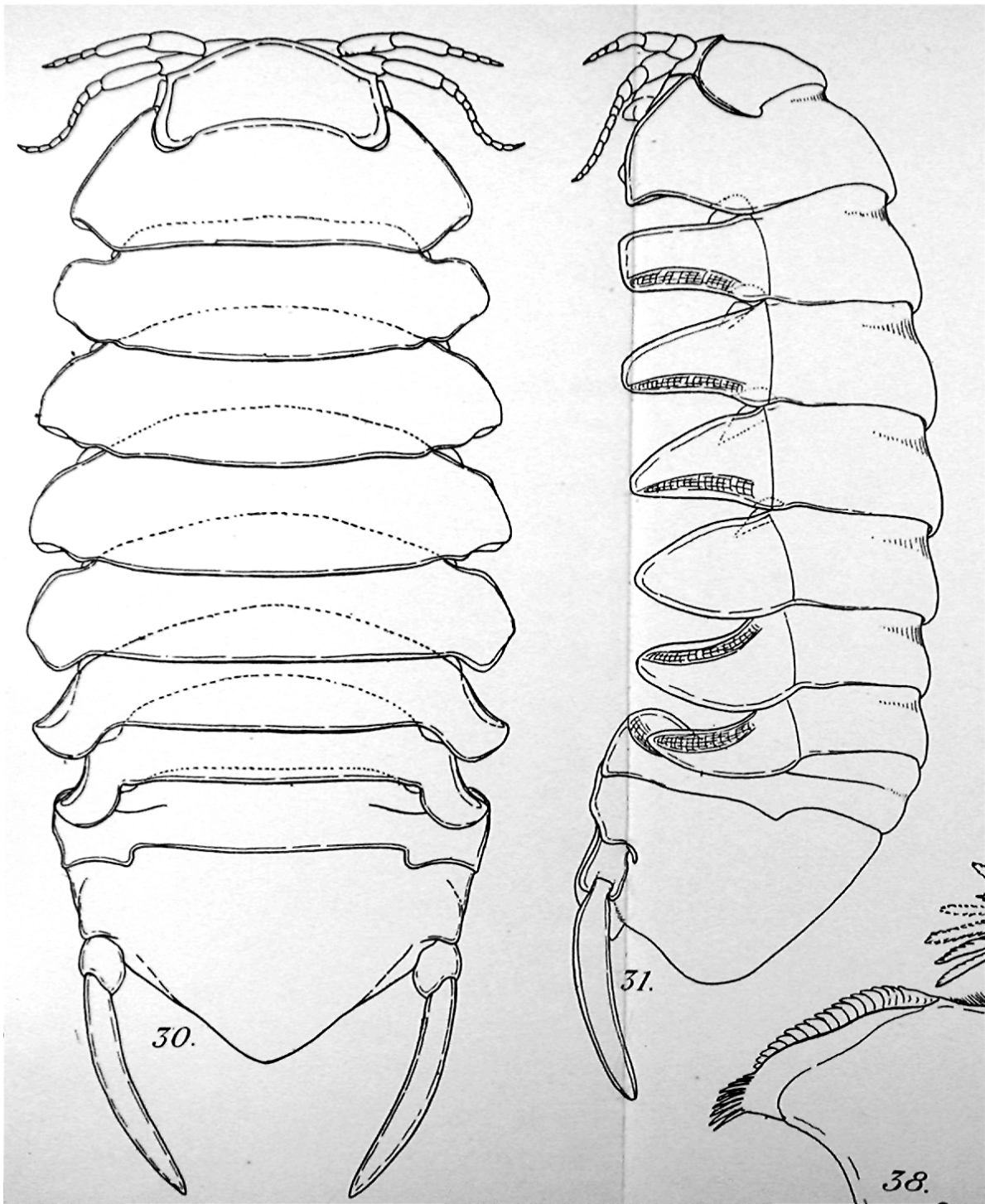


Racovitza del.

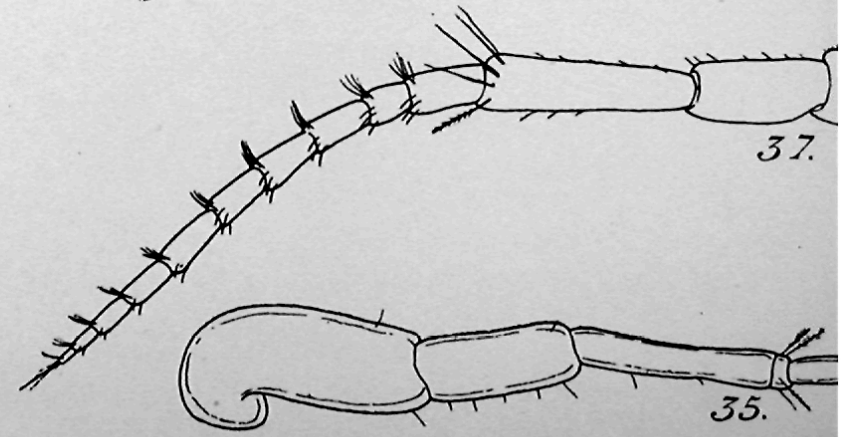
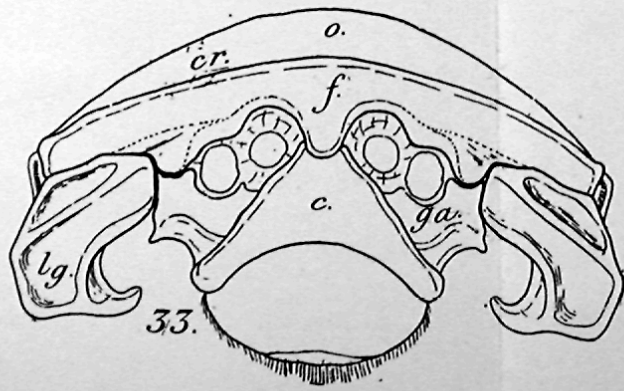
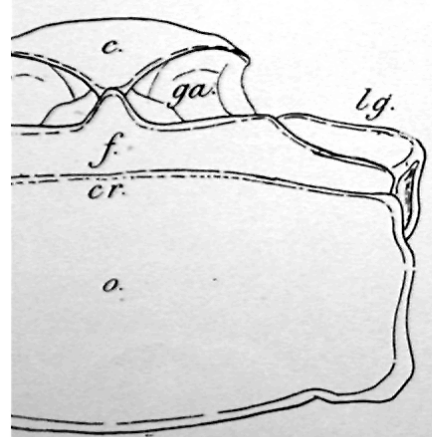
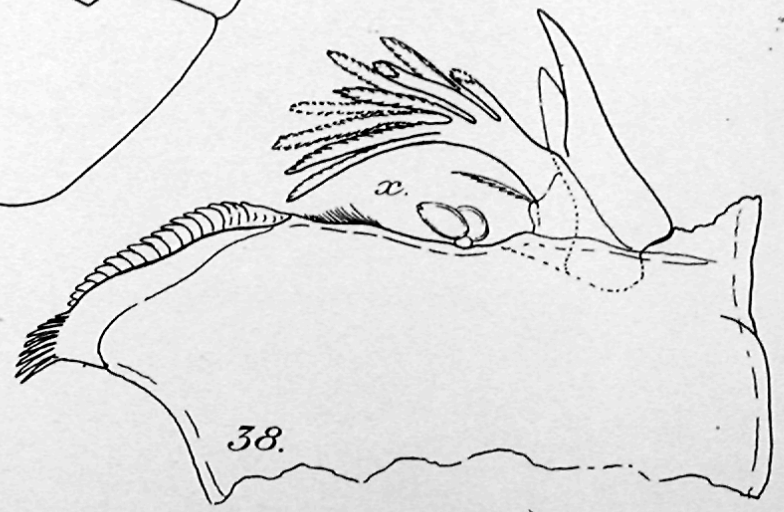
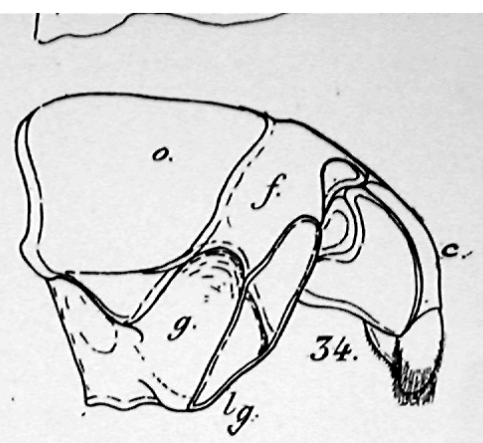
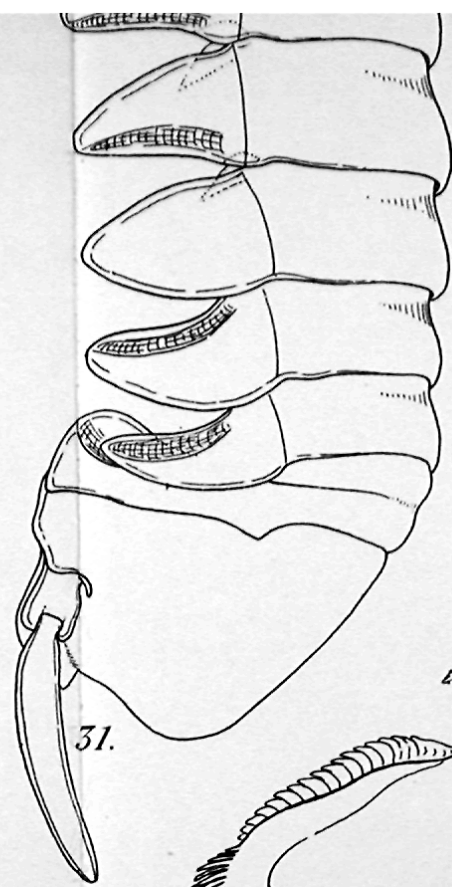
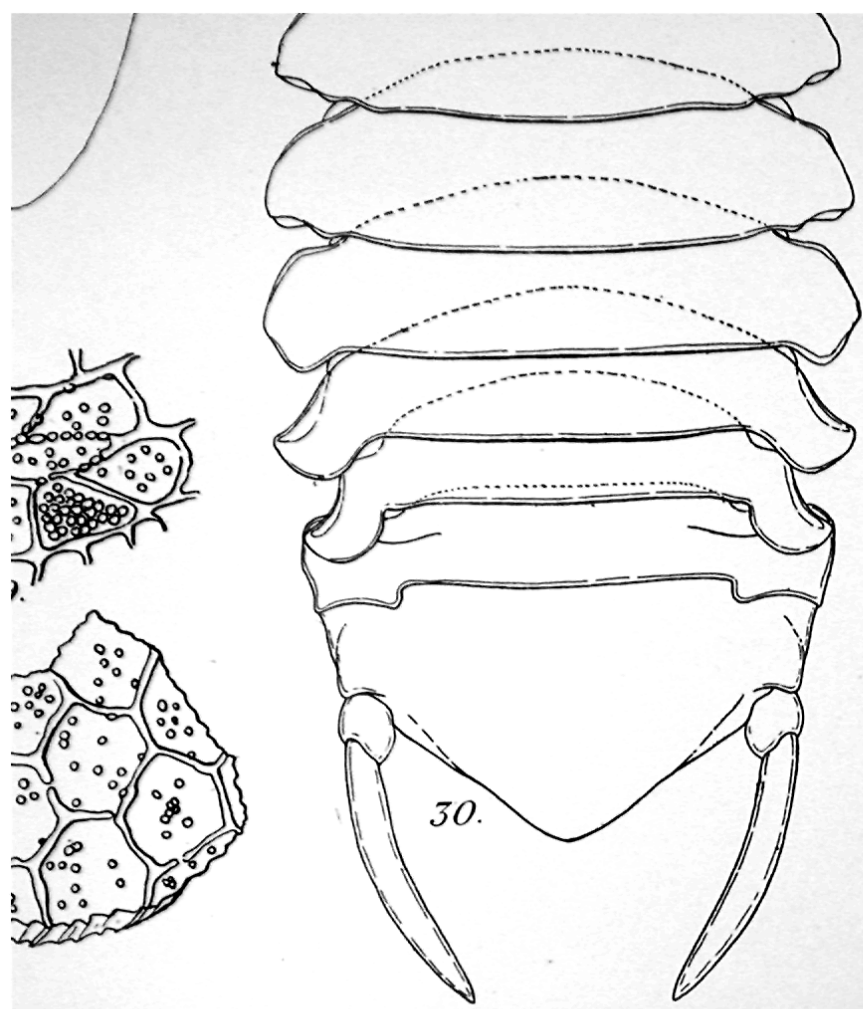
Eug. Morien, imp.

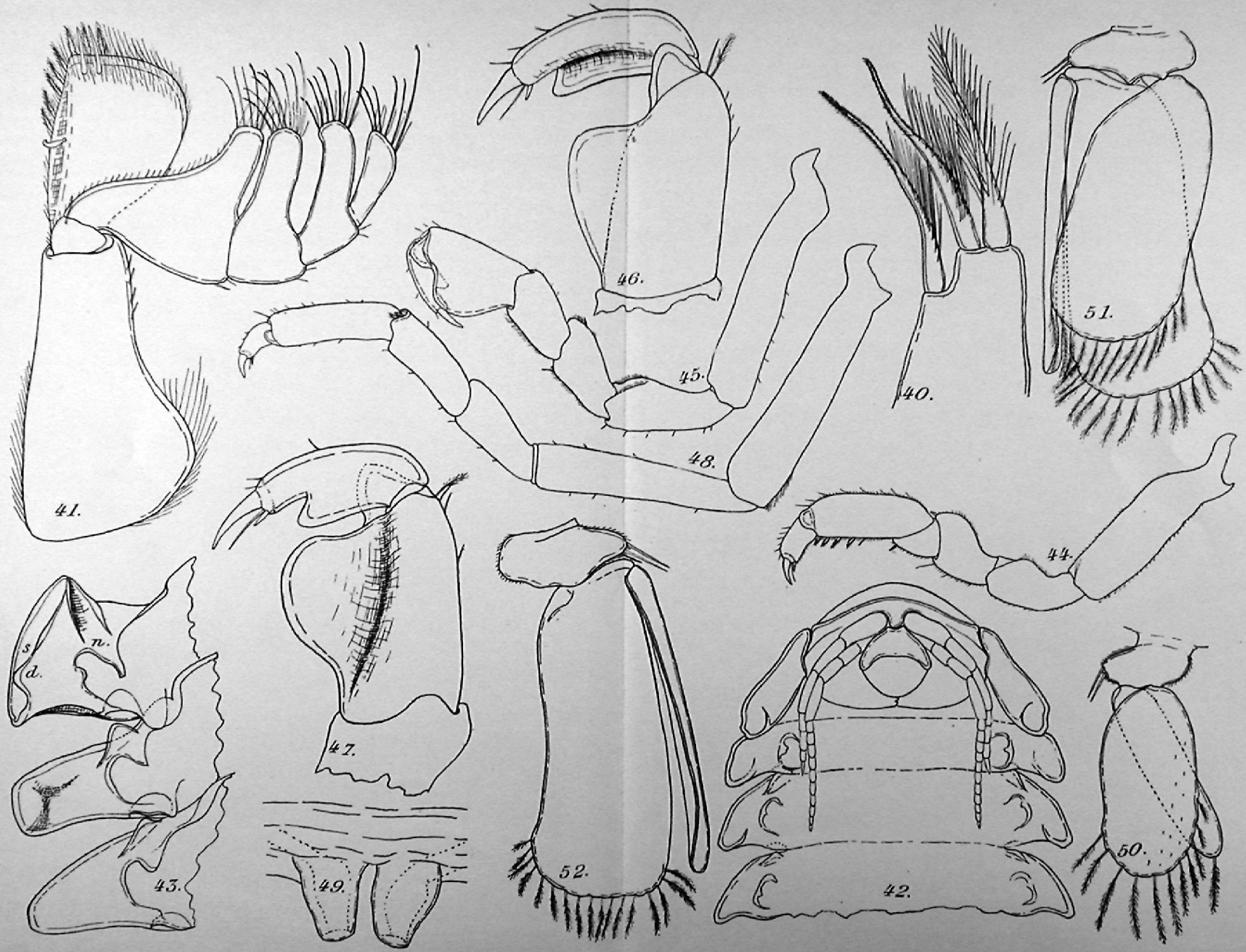
de Masin, sc.

Fig. 27-29 : *Monolistra (M.) caeca*. — Fig. 30-39 : *Monolistra (M.) caeca julium* (Feruglio).





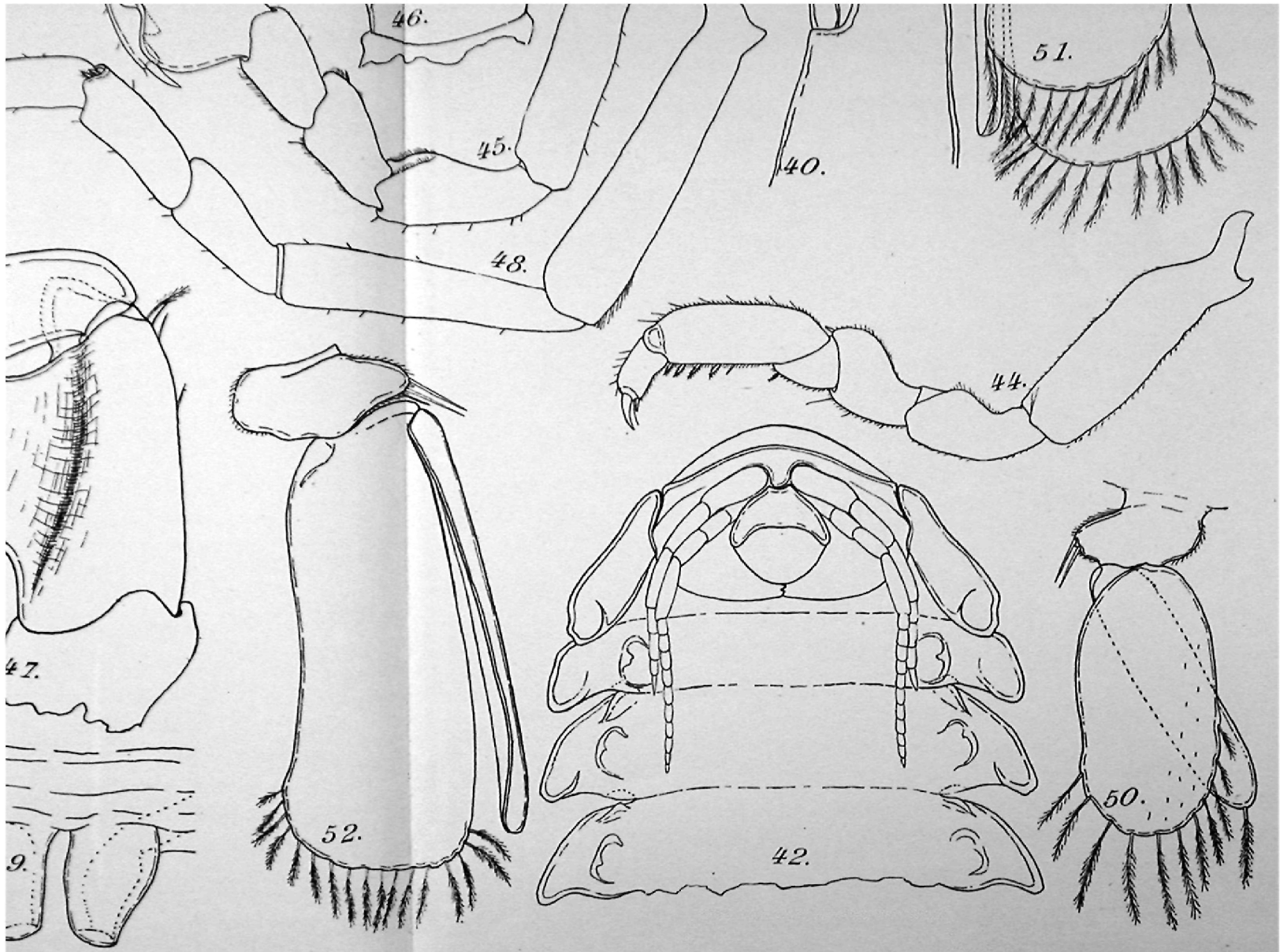




Racovița del.

Eug. Morieu, imp.

de Mezin, sc.



*Eug. Morieu, imp.*

*de Masin, sc.*

*Monolistra (M.) caeca julium.*